



مطالعه عددی اثر موقعیت فین بر انتقال حرارت جابجایی اجباری درون یک کانال در حالت جریان آشفته

سید مجید علوی لواسانی، محسن پیرمحمدی*

دانشکده مهندسی مکانیک، واحد پردیس، دانشگاه آزاد اسلامی، پردیس، ایران.

تاریخچه داوری:

دریافت: ۱۳۹۷/۰۳/۱۴

بازنگری: ۱۳۹۷/۰۷/۱۵

پذیرش: ۱۳۹۷/۰۸/۱۹

ارائه آنلاین: ۱۳۹۷/۱۱/۰۳

کلمات کلیدی:

انتقال حرارت

جابجایی اجباری

موقعیت فین

روش حجم محدود

جریان آشفته

خلاصه: یکی از روش‌های مؤثر برای افزایش انتقال حرارت درون کانال‌ها، استفاده از فین‌ها می‌باشد. در این پژوهش، پنج هندسه مختلف فین در نظر گرفته شده است؛ نتایج عددی برای متغیرهای حرکت سیال و انتقال حرارت ارائه گردیده است. برای این موضوع، معادلات حاکم بر حرکت سیال و انتقال حرارت، به وسیله روش حجم محدود گستینه و حل شد؛ همچنین برای ارتباط سرعت و فشار از روش سیمپل استفاده شد. مدل سازی آشفته با استفاده از مدل آشفته‌گرایی صورت گرفت. حساسیت حل عددی نسبت به شبکه محاسباتی و اعتبارسنجی نتایج عددی در مقایسه با نتایج تجربی و عددی سایر پژوهشگران، مقایسه شد. سپس هندسه‌های در نظر گرفته شده برای فین شامل، مثلث با زوایای مختلف، ذوزنقه، مربع مورب بررسی قرار گرفت. برای این هندسه‌ها، نتایج عددی برای بردار سرعت، فشار، دمای سیال ارائه شده است. در انتهای نتایج انتقال حرارت با تحلیل عدد ناسلت مطالعه شده و مقایسه‌ای میان هندسه‌های مختلف انجام شده است. مقدار ناسلت محلی در فواصل میان فین‌ها از ۱۰۰ الی ۱۵۰ و در انتهای سطح، به مقدار ۱۰۰ میل می‌کند. فین مثلثی با زاویه ۶۰ درجه نسبت به فین ۹۰ درجه ناسلت بیشتری داشته و در مجموع نیز فین‌های ذوزنقه‌ای بیشترین مقدار ناسلت را نسبت به سایر فین‌ها داشته است. از بررسی نسبت انتقال حرارت به افت فشار، مشاهده شد که فین‌های ذوزنقه‌ای، بهترین عملکرد را دارند.

۱- مقدمه

در بسیاری از هندسه‌های ذکر شده از اهمیت فراوانی را دارد. ستوده‌نیا و همکاران [۳] به شبیه‌سازی عددی جریان جابجایی اجباری آرام همراه با بررسی تولید آنتروپی در کانالی شبیدار با استفاده از روش انسداد کردن پرداختند. اثرات ارتفاع و سرعت دیواره پایین کانال بر روی میزان تولید آنتروپی مورد ملاحظه قرار گرفتند. در بسیاری از موارد، تغییرات ارتفاع و سرعت، باعث به وجود آمدن نواحی گردابه‌ای در هندسه جریان شدند. نواحی گردابه‌ای ایجاد شده بهنوبهی خود باعث افزایش انتقال حرارت و در پی آن افزایش شدت تولید آنتروپی و افزایش بازگشت‌ناپذیری در سیستم می‌شوند. این پژوهشگران، انتقال حرارت جابجایی اجباری آرام همراه با بررسی قانون دوم ترمودینامیک در کانالی با سطح مقطع متغیر را بررسی نمودند [۴ و ۵]. در بسیاری از موارد، تغییرات سطح مقطع کانال، باعث به وجود آمدن نواحی گردابه‌ای در هندسه جریان می‌گردد. نواحی گردابه‌ای ایجاد شده، باعث افزایش انتقال حرارت و در پی آن افزایش شدت تولید آنتروپی و افزایش بازگشت‌ناپذیری در سیستم می‌شوند. شهدادنژاد و همکاران [۶] به بررسی افت انرژی در یک جریان آرام با

بحث حرارتی سیال درون کانال، در سال‌های اخیر توسط محققین مختلف مورد بررسی قرار گرفته است. برای افزایش انتقال حرارت، شکل هندسی، تعداد و جای‌دهی فین‌ها همواره مورد توجه بوده است. با توجه به کاربردهای گسترده کانال‌های فین‌دار در سیستم‌های حرارتی، الزاماً یک طرح خاص جواب‌گوی همه مسائل نخواهد بود؛ لذا لازم است تا برای هر مسئله به صورت مستقل تحلیل حرارتی صورت گیرد.

محققین مختلف مسئله انتقال حرارت جابجایی اجباری را مورد بررسی قرار داده‌اند. اولیایی و همکاران [۱ و ۲] به مطالعه عددی اثرات شبیدار کانال بر روی میزان بازگشت‌ناپذیری جریان در جریان‌های جابجایی ترکیبی آزاد و اجباری پرداختند. اگرچه هندسه‌هایی مانند کانال‌های دارای پله پس رو و پیشوپ بسیار ساده هستند، اما بررسی جریان سیال و انتقال حرارت ترکیبی جابجایی آزاد و اجباری در چنین هندسه‌هایی، پیچیدگی خاص خود را دارا می‌باشد. بررسی بازگشت‌ناپذیری به دلیل تغییرات ناگهانی در هندسه جریان،

* نویسنده عهده‌دار مکاتبات: pirmohamadi@pardisniau.ac.ir

(Creative Commons License) حقوق مؤلفین به نویسنده‌گان و حقوق ناشر به انتشارات دانشگاه امیرکبیر داده شده است. این مقاله تحت لیسانس آفرینندگی مردمی (Creative Commons License) در دسترس شما قرار گرفته است. برای جزئیات این لیسانس، از آدرس <https://www.creativecommons.org/licenses/by-nc/4.0/legalcode> دیدن فرمائید.



طبیعی در محفظه‌های کلکتورهای خورشیدی با صفحه جاذب تخت و موج دار پرداختند. دو نوع کلکتور بررسی شدند، در حالت اول، کلکتور دارای صفحه جاذب موجی شکل و در حالت دوم، دارای صفحه جاذب تخت بود. زاویه انحراف در گستره ۲۰° الی ۶۰° درجه و متوسط ارتفاع کanal برای صفحه جاذب موجی شکل، در گستره ۰/۰۷۵ تا ۰/۱۵ متر از جمله پارامترهای تحت کنترل بوده و طول موج و دامنه موج صفحه جاذب موجی شکل به ترتیب دارای مقادیر ثابت ۰/۰۴ متر و ۰/۰۵ متر بودند.

آیلی و همکاران [۱۳]، بحث انتقال حرارت جابجایی اجباری را بر روی آرایه‌ای از فین‌های مستطیلی به صورت تجربی و عددی مورد بررسی قرار دادند. در این تحقیق اثر پارامترهای هندسی و عدد ناسلت ارزیابی شد. بونلوی و همکاران [۱۴] جابجایی اجباری در جریان آشفته، انتقال حرارت و بهبود عملکرد کanal مربعی با مانع گسسته و سوراخ‌های ۷ شکل را به صورت عددی مورد بررسی قرار دادند. در این تحقیق اثر مسدود شدن جریان سیال و چهت فین‌های ۷ شکل با بازه جای دهی مشخص مورد بررسی قرار گرفت. دیکسیت و کومارپاتیل [۱۵]، انتقال حرارت در جریان جابجایی اجباری را بر روی یک ورق فین دارای شکاف به صورت تجربی بررسی نمودند.

یانگ و همکاران [۱۶]، جریان سیال و انتقال حرارت جابجایی اجباری کanal افقی با صفحات موازی را با در نظر داشتن آرایه از فین‌ها، مورد بررسی قرار دادند. اثرات رینولدز، هدایت حرارتی و طول ورودی مورد ارزیابی قرار گرفت. جابجایی اجباری کanal با فین‌های متخلخل به صورت سه بعدی توسعه یانگ و همکاران [۱۷] مورد تحقیق قرار گرفت. مدل محیط متخلخل مورد استفاده قرار گرفت. یانگ و همکاران [۱۸] بحث انتقال حرارت جابجایی اجباری در کanal با فین‌های جانبی و بهینه‌سازی آن، با استفاده از تابع انتقال چرخش جریان بر روی شبکه‌بندی غیریکنواخت و با استفاده از روش تفاضل محدود، مورد بررسی قرار دادند.

تاندا و آبرام [۱۹] کanal‌های دارای نسبت منظری مختلف و با گوشه‌های مورب را در جریان انتقال حرارت جابجایی اجباری مورد ارزیابی قرار دادند. تحلیل در رینولدزهای مختلف انجام شد و پارامترهایی مانند نسبت ارتفاع مانع به قطر هیدرولیکی و نسبت پیچش با ارتفاع مورد بررسی قرار گرفت. ابوحیجله [۲۰] مسئله تعداد فین‌ها و موقعیت بهینه آن‌ها را در جریان جابجایی اجباری یک سیلندر مورب بررسی قرار داد. اعداد ناسلت مختلف برای عدد رینولدز مختلف و با روش تفاضل محدود، مورد بررسی قرار گرفتند. سیدی و همکاران [۲۱] به بررسی عددی تأثیر زاویه جداگانه در انتقال

جابجایی اجباری، داخل کanal شامل پله شیب‌دار پرداختند. نتایج حل عددی شامل، ضریب اصطکاک، عدد ناسلت و عدد تولید آتروپی که نشان‌دهنده کل افت انرژی می‌باشد ارائه شده و تأثیرات زاویه شیب پله به عنوان یک پارامتر اصلی بر روی نتایج، مورد مطالعه و بررسی قرار گرفت. شیرزاد و همکاران [۲۲] به بررسی عددی جریان جابجایی اجباری تحت میدان مغناطیسی شیب‌دار دریک کanal سه بعدی و دارای مانع پله‌ای شکل، پرداختند. نتایج عددی این تحقیق نشان داد که شیب تغییرات میدان مغناطیسی اثرات فراوانی بر روی رفتارهای حرارتی و هیدرودینامیکی جریان سیال دارد.

صفایی و همکاران [۸] به بررسی انتقال حرارت جابجایی آزاد در یک کوبیتی مربعی شیب‌دار با حفره‌های داخلی عایق پرداختند وجه سمت چپ محفظه دارای منبع حرارتی دما ثابت بوده و وجه سمت راست آن در دمای سرد قرار گرفت. داخل محفظه مربعی چهار حفره مستطیل شکل با دیوارهای عایق قرار دارد. هدف این تحقیق، بررسی تأثیر مقادیر مختلف زاویه محفظه، عدد رایلی و نسبت وجه حفره‌های داخلی به وجه گرم، بر انتقال حرارت، خطوط جریان، بیشینه تابع جریان و عدد ناسلت متوسط بود.

فروزان‌نیا و همکاران [۹] به مطالعه عددی تولید آتروپی در جریان جابجایی اجباری آشفته در داخل کanalی شامل دو پله شیب‌دار پس‌رو و پیشرو پرداختند. یکی از راههای کنترل نرخ انتقال حرارت در چنین هندسه‌هایی، تغییرات طول فرورفتگی بین دو پله و تغییرات شیب پله‌ها می‌باشد که در این پژوهش بررسی شدند. در این پژوهش جریان هوا داخل کanal با دو صفحه موازی عایق و شار ثابت تحت زوایای ۴۵°، ۶۰° درجه بررسی گردید. کارگریان مروستی و همکاران [۱۰] به تحلیل عددی بهبود انتقال حرارت جابجایی طبیعی درون کanal با صفحات موازی شیب‌دار پرداختند. مشاهده شده است که فین مثلثی با زاویه ۱۲۰° درجه، نسبت به ۴۵° و ۶۰° درجه، عملکرد بهتری دارد. مهدی‌پور و همکاران [۱۱] به بررسی تجربی انتقال حرارت جابجایی ترکیبی در یک کanal استوانه‌ای حلقوی شیب‌دار (متمايل) حاوی ماده متخلخل پرداختند. ناحیه مطالعاتی شامل دو کanal استوانه‌ای بود. کanal کوچک‌تر به گونه‌ای در کanal بزرگ‌تر نصب شده است که محور هر دو استوانه بر روی یک خط قرار گرفته است. استوانه بیرونی با جریان الکتریکی یکنواخت به صورت شار ثابت گرم شده و سطح بیرونی آن عایق‌کاری شد. با اندازه‌گیری دما در طول محور استوانه، مقادیر عدد ناسلت محلی و متوسط را محاسبه شد. در پایان نیز نتایج حاصل را با نتایج پژوهش‌های انجام شده توسط دیگران نیز مقایسه شد.

هدایتی و همکاران [۱۲] به مطالعه عددی الگوی جریان جابجایی

بودن تشعشع می‌باشد. معادلات حاکم بر سیال به صورت زیر می‌باشد:

معادله پیوستگی

حرارت جابجایی اجباری کanal تخت با روش شبکه‌ای بولتزمن پرداختند. پارامترهای مربوطه شامل عدد رینولدز، نسبت فاصله و زاویه جداکننده، مورد بررسی قرار گرفت.

$$\frac{\partial}{\partial x_i} (\rho u_i) = 0 \quad (1)$$

معادله مومنتم

$$\begin{aligned} \frac{\partial}{\partial x_i} (\rho u_i u_i) &= -\frac{\partial \rho}{\partial x_i} + \frac{\partial}{\partial x_i} \\ &\times \left[\mu \left(\frac{\partial u_i}{\partial x_i} + \frac{\partial u_j}{\partial x_j} - \frac{2}{3} \delta_{ij} \frac{\partial u_k}{\partial x_k} \right) \right] \quad (2) \\ &+ \frac{\partial}{\partial x_j} \left(-\rho \bar{u}_i' \bar{u}'_j \right) \end{aligned}$$

معادله انرژی

$$\begin{aligned} \frac{\partial}{\partial x_i} \left[\rho u_i \left(h + \frac{1}{2} u_j u_j \right) \right] &= \\ \frac{\partial}{\partial x_j} \left[k_{eff} \frac{\partial T}{\partial x_j} + u_i (\tau_{ij})_{eff} \right], \quad (3) \end{aligned}$$

$$k_{eff} = K + \frac{c_p \mu_t}{Pr_t}$$

در روابط بالا (ρ (kg/m³) چگالی، u_i (m/s) مؤلفه متوسط گیری شده سرعت نسبت به جرم، p (Pa) فشار، u' (m/s) جزء نوسانی سرعت، τ_{ij} دلتای کرونوکر، h (J/kg) مقدار متوسط گیری شده جرمی آنتالپی، c_p ضریب هدایت تنش برشی مؤثر، k_{eff} (W/m.K) ضریب هدایت مؤثر، Pr_t پرانتل مخصوص در فشار ثابت، μ_t (kg/m.s) ویسکوزیته آشفته و K پرانتل آشفته می‌باشد. در معادله انرژی جمله سمت چپ معادله، نماینده انتقال انرژی در اثر جابجایی، ترم اول سمت راست معادله نماینده انتقال انرژی در اثر پخش انرژی و جمله دوم سمت راست معادله نماینده کار نیروهای برشی و اتلاف ویسکوز می‌باشد. جمله آخر سمت راست معادله مومنتوم که از جنس تنش می‌باشد و مقدار تنش برشی مؤثر به ترتیب با روابط (۴) و (۵) جایگزین می‌شوند.

دهقانی و گنجعلیخان [۲۲] به بررسی انتقال حرارت جابجایی اجباری و تشعشعی در جریان سه بعدی آرام، در یک پله دارای زاویه مختلف، پرداختند. بررسی در یک لوله افقی صورت گرفت. سیریتندن و همکاران [۲۳] به ارزیابی جابجایی اجباری در انتقال حرارت کanal‌های دارای چاه حرارتی پرداختند. منبع تولید جابجایی پدیده فلااتر آبرو الاستیک بود و اثر گردابه‌ها بر انتقال حرارت جابجایی بررسی شد. کوچی و همکاران [۲۴] به بررسی انتقال حرارت جابجایی اجباری در کanal مستطیلی دارای صفحه‌های ۶۰ درجه پرداختند. مشخصات حرارتی کanal به روش متوسط‌گیری و آزمایشگاهی به دست آمد و صفحات بالایی و پایینی دارای زیری ناشی از تیغه‌ها بود. امقر و همکاران [۲۵] به شبیه‌سازی عددی جابجایی اجباری آشفته در کanal دارای مانع جانبی پرداختند. هدف از ایجاد مانع خنک کاری دیواره بوده و مدل $\epsilon - k$ و الگوریتم سیمپل استفاده شد. سیدیک و همکاران [۲۶] به شبیه‌سازی جابجایی اجباری کanal دارای نانوسیال با روش شبکه‌ای بولتزمن پرداختند. هدف از این مطالعه ارزیابی عملکرد فین‌ها بود و سیال خنک کن، آب و نانوسیال آب-اکسیدآلومینیوم انتخاب شد. چئو و همکاران [۲۷] به تحلیل عددی جابجایی اجباری نانوسیال در میکروکanal پرداختند. هدف از مطالعه مدل‌سازی حرارتی جریان آرام تک فاز در میکروکanal بود و از نرم‌افزار فلوئنت استفاده شد.

در این پژوهش جریان آشفته و انتقال حرارت بر روی صفحات دارای فین با شکل‌های مثلث، مستطیل و ذوزنقه، بررسی می‌شود. ابتدا معادلات حاکم ارائه می‌شود و سپس برای حل عددی معادلات حاکم، از نرم‌افزار فلوئنت استفاده شده است. نتایج عددی برای عدد ناسلت، افت فشار و بردارهای سرعت سیال، ارائه شده است.

۲- معادلات حاکم

در این بخش معادلات حاکم بر جریان و انتقال حرارت سیال، ارائه می‌شود. در این پژوهش، با توجه به اینکه مدل آشفته $\epsilon - k$ ، در جریان با عدد رینولدز زیاد مناسب بوده و با توجه به مراجع و پژوهش‌های پیشین، از این مدل استفاده شده است.

فرضیات این مسئله شامل: جریان غیرقابل تراکم، رژیم جریان آشفته، شرایط پایا، خواص فیزیکی سیال ثابت، سرعت در ورودی یکنواخت و ناچیز

$$\frac{\partial}{\partial x_i} (\rho k u_i) = \frac{\partial}{\partial x_j} \left[\alpha_k \mu_{eff} \frac{\partial k}{\partial x_j} \right] + 2 \mu_t E_{ij} . E_{ij} - \rho \varepsilon - Y_M \quad (9)$$

$$\begin{aligned} \frac{\partial}{\partial x_i} (\rho \varepsilon u_i) &= \frac{\partial}{\partial x_j} \left[\alpha_\varepsilon \mu_{eff} \frac{\partial \varepsilon}{\partial x_j} \right] \\ &+ C_{I\varepsilon}^* \frac{\varepsilon}{k} 2 \mu_t E_{ij} . E_{ij} - C_{2\varepsilon} \rho \frac{\varepsilon^2}{k} - R_\varepsilon \end{aligned} \quad (10)$$

مقادیر و ثوابت استفاده شده در رابطه به شرح زیر می‌باشد:

$$\mu_{eff} = \mu + \mu_t \quad (11)$$

$$C_{I\varepsilon}^* = C_{I\varepsilon} - \frac{\eta(1-\eta/\eta_b)}{1+\beta\eta^3} \quad (12)$$

$$\eta = (2 E_{ij} . E_{ij})^{1/2} \frac{k}{\varepsilon} \quad (13)$$

$$E_{ij} = \left(\frac{\partial U_i}{\partial x_j} + \frac{\partial U_j}{\partial x_i} \right) \quad (14)$$

$$Y_M = 2 \rho \varepsilon M_t^2, M_t = \sqrt{\frac{k}{\gamma RT}} \quad (15)$$

$$R_\varepsilon = \frac{C_\mu \rho \eta^3 (1-\eta/\eta_b)}{1+\beta\eta^3} \frac{\varepsilon^2}{k} \quad (16)$$

$$R_\varepsilon = \frac{C_\mu \rho \eta^3 (1-\eta/\eta_b)}{1+\beta\eta^3} \frac{\varepsilon^2}{k} \quad (17)$$

$$\begin{aligned} C_\mu &= 0.0845, \alpha_k = \alpha_\varepsilon = 1.39, C_{I\varepsilon} \\ &= 1.42, \alpha C_{2\varepsilon} = 1.68, Pr_t = 0.85 \end{aligned} \quad (18)$$

در این روابط E_{ij} تانسور نرخ تغییر شکل، Y_M نماینده سهم انبساط نوسانی در جریان مغذی شکل، α ناپذیر می‌باشد. این ترم در حالاتی که

$$\begin{aligned} -\overline{\rho u'_i u'}_j &= \mu_t \left(\frac{\partial u_i}{\partial x_j} + \frac{\partial u_j}{\partial x_i} \right) \\ &- \frac{2}{3} (\rho k + \mu_t \frac{\partial u_k}{\partial x_k}) \delta_{ij} \end{aligned} \quad (4)$$

$$\begin{aligned} (\tau_{ij})_{eff} &= \mu_{eff} \left(\frac{\partial u_j}{\partial x_i} + \frac{\partial u_i}{\partial x_j} \right) \\ &- \frac{2}{3} \mu_{eff} \frac{\partial u_k}{\partial x_k} \delta_{ij} \end{aligned} \quad (5)$$

در رابطه‌های ذکر شده، k انرژی جنبشی مغذی می‌باشد. رابطه (4) به رابطه بوزینسک مشهور است. برای حل معادلات رینولدز باید جملات نوسانی به مقادیر متوسط ربط داده شوند. برای حل دستگاه معادلات کافی است تا μ_t از رابطه (4) محاسبه شود. مدل $\varepsilon - k$ یک مدل نسبتاً کامل و عمومی می‌باشد که برای تشریح آشفتگی بکار می‌رود. در این مدل دو معادله انتقال، یکی برای انرژی جنبشی آشفته، $s^2/k(m^2/s^2)$ دیگری برای نرخ استهلاک انرژی جنبشی (m^2/s^3) حل می‌شود تا با جایگزین کردن این دو پارامتر در معادله \cdot مقدار ویسکوزیته مؤثر محاسبه شود.

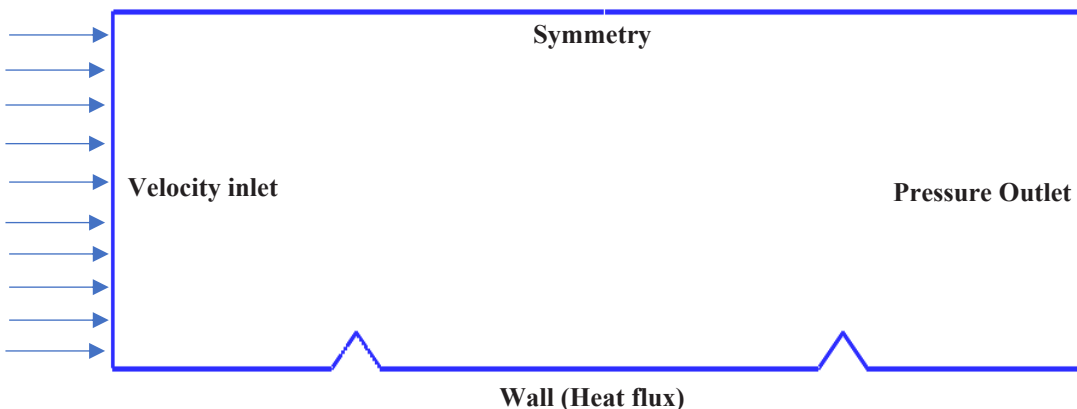
$$d \left(\frac{\rho^2 k}{\sqrt{\varepsilon \mu}} \right) = 1.72 \frac{\bar{\nu}}{\sqrt{\bar{\nu}^3 - 1 + C_v}} d \bar{\nu} \quad (6)$$

$$\bar{\nu} = \mu_{eff} / \mu, \quad C_v \approx 100 \quad (7)$$

در سرعت‌های بالا ویسکوزیته آشفته مطابق رابطه (8) محاسبه می‌شود.

$$\mu_t = \rho C_\mu \frac{k^2}{\varepsilon} \quad (8)$$

مدل گروه نرمال‌سازی مجدد معادلات انتقال زیر را برای ε ، k بکار می‌برد:



شکل ۱: هندسه مورد بررسی

Fig. 1. The geometry of problem and the boundary conditions

جريان شرط مرزی سرعت ورودی $3/6$ متر بر ثانیه می‌باشد. سیال ورودی با دمای 300 کلوین وارد می‌شود. دیوارهای سطح پایین دارای شرط عدم لغزش می‌باشند؛ و دارای شار حرارتی ثابت 28 وات بر مترمربع می‌باشد در صد اغتشاش ورودی $4/8\%$ در نظر گرفته شده است. حدس اولیه بر اساس ورودی در نظر گرفته می‌شود. سپس حل تا حدود 2000 تکرار تا همگرایی باقیماندها ادامه می‌یابد.

عدد ماخ جریان زیاد می‌باشد، اهمیت می‌یابد و برای جریان‌های با ماخ پایین خود به خود از معادلات حذف می‌شود. $\alpha_k, \alpha_{\varepsilon}, M_k$ به ترتیب معکوس عدد پرانتل مربوط به معادلات ε ، k هستند. M_k به عنوان عدد ماخ جریان مشوش تراکم پذیر، γ نسبت ضریب گرمای ویژه فشار ثابت به حجم ثابت و $C_{\mu}, C_{1\varepsilon}, C_{2\varepsilon}$ ثوابت مدل جریان مشوش می‌باشد. موردن استفاده می‌باشد.

۴- نتایج

برای صحت سنجی درستی عملکرد الگوریتم حل از هندسه پژوهش آشاریا و همکاران [۲۸] استفاده شده است. با توجه به پر استناد بودن مرجع [۲۸] و استفاده از این نتایج تجربی این پژوهش در اعتبارسنجی پژوهش‌های عددی دیگر، از این مرجع برای اعتبارسنجی استفاده شده است. در شکل ۲ مقایسه بین پروفیل سرعت نتایج آزمایشگاهی با نتایج شبیه‌سازی حاضر دیده می‌شود که مطابقت خوبی بین نتایج مشاهده می‌شود. نتایج شبیه‌سازی عددی حاضر از نتایج شبیه‌سازی موجود مطابقت بهتری با نتایج آزمایشگاهی دارد. نمودار y با ارتفاع $fin = 0.063$ می‌بعد شده و سرعت سیال نیز با سرعت ورودی $3/6$ متر بر ثانیه بی‌بعد شده است. برای بررسی حساسیت حل نسبت به تعداد شبکه از سه شبکه با تعداد 69850 و 159600 و 420200 استفاده شد. با توجه به اینکه با افزایش تعداد سلول‌های محاسباتی نزدیک دیوار در دو شبکه 159600 و 420200 تغییر ناچیزی در نتایج دیده می‌شود بنابراین شبکه 159600 به عنوان شبکه بهینه محاسباتی انتخاب شد (شکل ۳).

۳- روش عددی

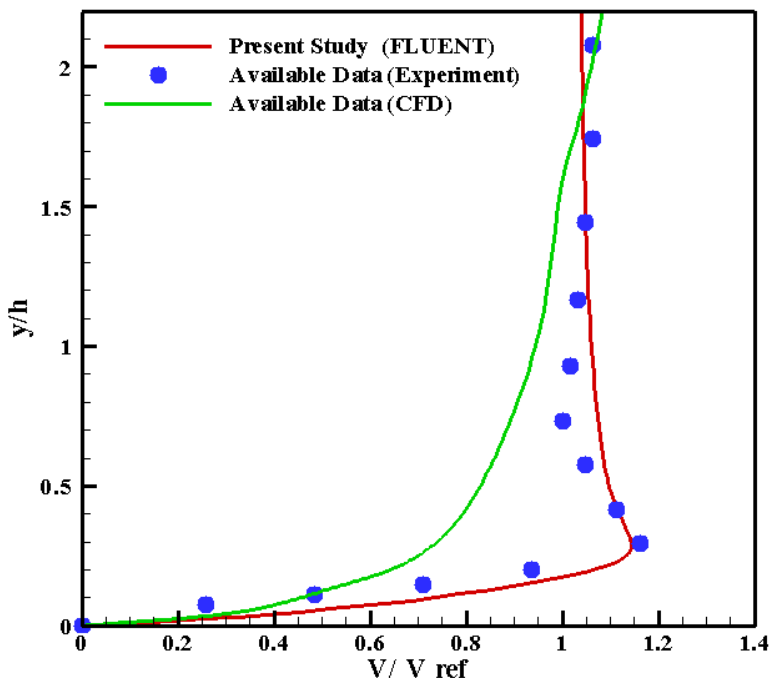
معادلات ارائه شده در قسمت پیشین به همراه شرایط مرزی تشریح شده، با استفاده از روش حجم محدود^۱ گستته شده‌اند. برای ارتباط فشار و سرعت از الگوریتم سیمپل^۲ که توسط پاتانکار، ارائه شد، استفاده شده است.

برای تولید شبکه، از نرم‌افزار Gambit و از نرم‌افزار Ansys Fluent به عنوان حل‌گر استفاده شده است. برای بهتر مشخص شدن تغییرات در نزدیکی دیوار، در این نواحی شبکه محاسباتی ریز شده است. در شکل ۱ هندسه و شرایط مرزی نشان داده شده است.

حل ارائه شده برای جریان پایا بوده و گستته‌سازی مرتبه دوم برای جملات جابه‌جایی استفاده شده است. همگرایی عددی برای معادلات پیوستگی و مومنتوم تا 10^{-6} و برای معادله انرژی تا 10^{-9} حاصل شده است. رژیم جریان آشفته بوده و از مدل آشفتگی $k-\varepsilon$ برای مدل‌سازی اغتشاشات، استفاده شده است.

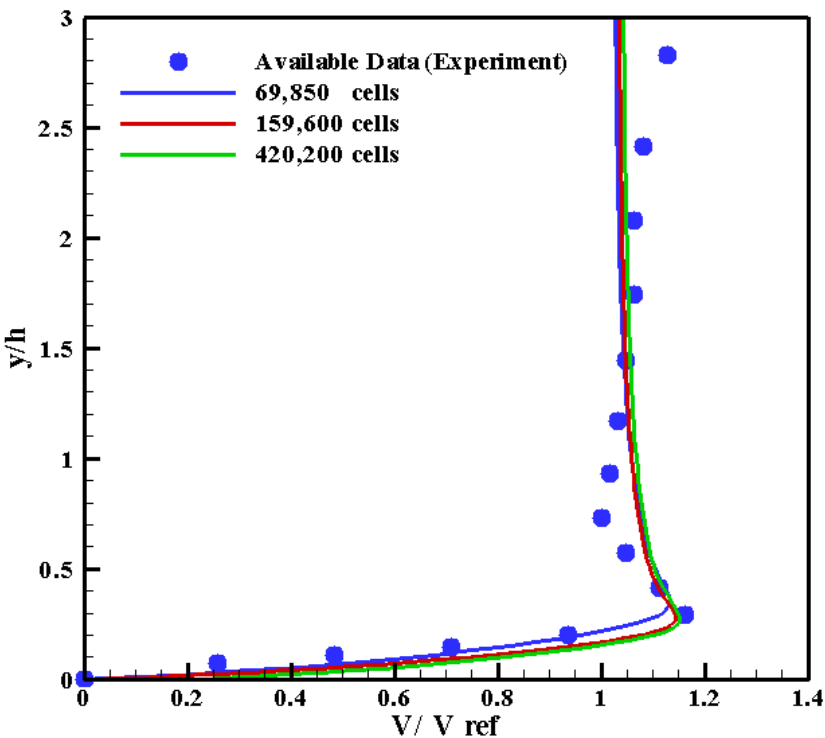
در این پژوهش، سیال مورد استفاده هوا می‌باشد. در شرط مرزی ورودی

1 Finite Volume Method
2 SIMPLE



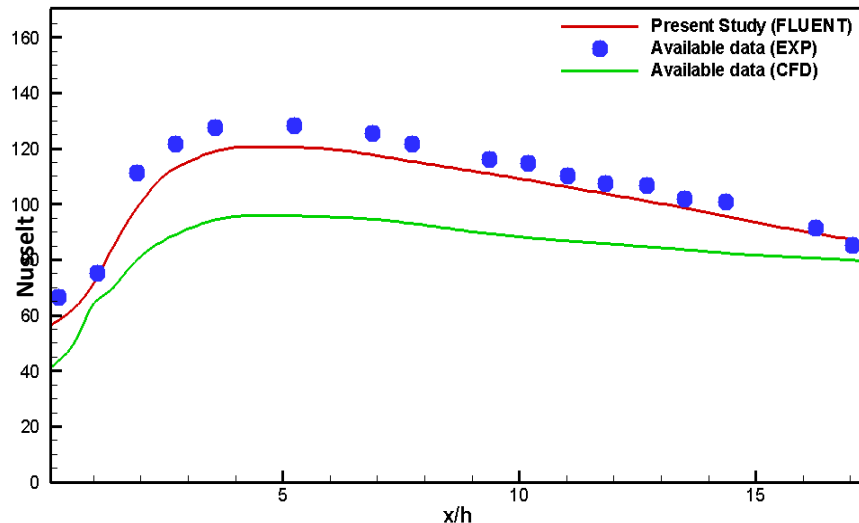
شکل ۲: اعتبارسنجی نتایج عددی در مقایسه با مرجع [۲۸].

Fig. 2. Validation of numerical results comparing with Ref [28]



شکل ۳: بررسی استقلال حل از میدان محاسباتی در مقایسه با مرجع [۲۸].

Fig.3. Grid independency analysis compared with Ref [28]



شکل ۴: مقایسه نتایج آزمایشگاهی و عددی برای عدد ناسلت در مقایسه با مرجع [۲۸].

Fig.4. Comparison of experimental and numerical results for Nusselt number with Ref[28]

بین سیال گرم نزدیک سطح و سیال خنک به وجود می‌آید. جدایش جریان نزدیک سطح در فین مثلثی ۶۰ درجه بیشتر از مثلث ۹۰ درجه می‌باشد. در فین‌های ذوزنقه‌ای به دلیل کاهش قدرت و شعاع گردابه جدایش کمتر از مثلثی است و انتقال حرارت نزدیک سطح یکنواخت‌تر از فین مثلث می‌باشد. پروفیل ضربی فشار بروی سطح دیواره پایین مطابق شکل ۹ می‌باشد.

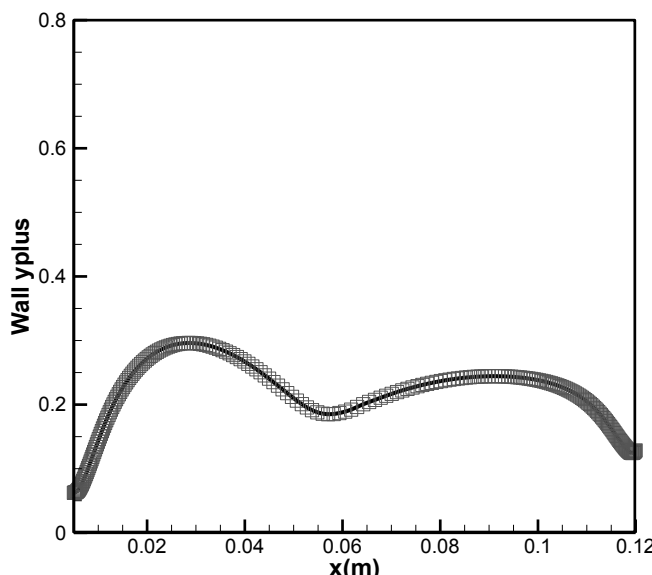
با استفاده از شبکه محاسباتی انتخاب شده، عدد ناسلت با نتایج عددی و آزمایشگاهی مقایسه شده است. در شکل ۴ مشاهده می‌شود که نتایج عددی حاضر، تطبیق بهتری نسبت به نتایج پیشین داشته و به نتایج عددی بسیار نزدیک است.

همچنین نمودار Y+ برای نشان دادن دقیق محاسباتی آشفتگی روی دیواره محاسبه شده است (شکل ۵). مقدار آن از یک کمتر می‌باشد.

هدف از انجام این پژوهش، بررسی اثر هندسه فین‌ها بر انتقال حرارت سطح می‌باشد. برای این منظور از پنج هندسه متفاوت برای فین‌ها استفاده شده است. هندسه‌ها و دامنه‌های محاسباتی و همچنین شبکه محاسباتی مطابق شکل ۶ است.

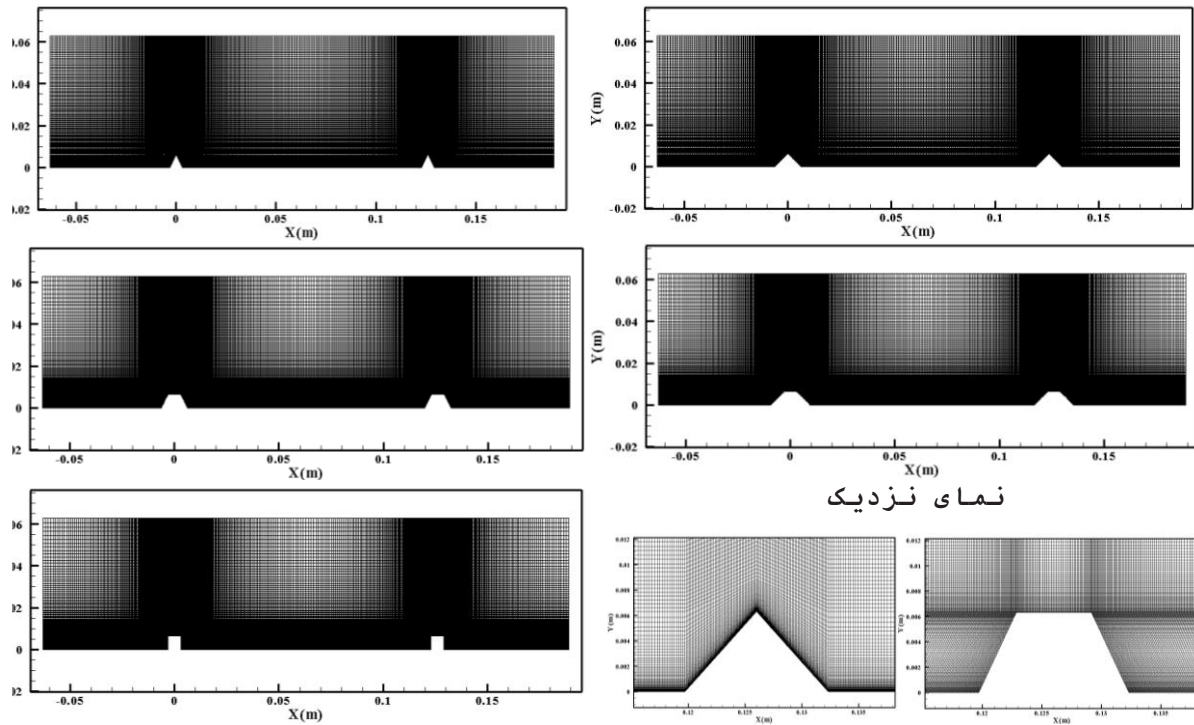
خطوط بردار سرعت سیال مطابق شکل ۷ می‌باشد. گردابه اصلی در بعد از فین تشکیل می‌شود. خطوط جریان به خوبی حرکت سیال در گردابه‌های فین را نشان می‌دهد. در فین‌های مثلثی به دلیل وجود لبه باریک در امتداد جریان جدایش جریان بیشتر و بنابراین اختلاط دو جریان اصلی و گرم بیشتر انجام می‌شود. ارتفاع گردابه در فین مثلثی ۶۰ درجه نسبت به ۹۰ درجه بیشتر است. در فین‌های مسطح مثل ذوزنقه و مربع چون جریان موازی با سطح بالایی به بعد از فین می‌رسد، ارتفاع گردابه و قدرت آن نسبت با فین مثلثی کمتر است ولی سطح تماس سیال داغ با سطح نسبت به مثلثی بیشتر است.

در شکل ۸ خطوط هم‌تراز دما مشاهده می‌شود. حرکت هوای خنک بروی سطح باعث کاهش دمای سطح می‌شود. در ناحیه گردابه‌ها اختلاط بیشتری



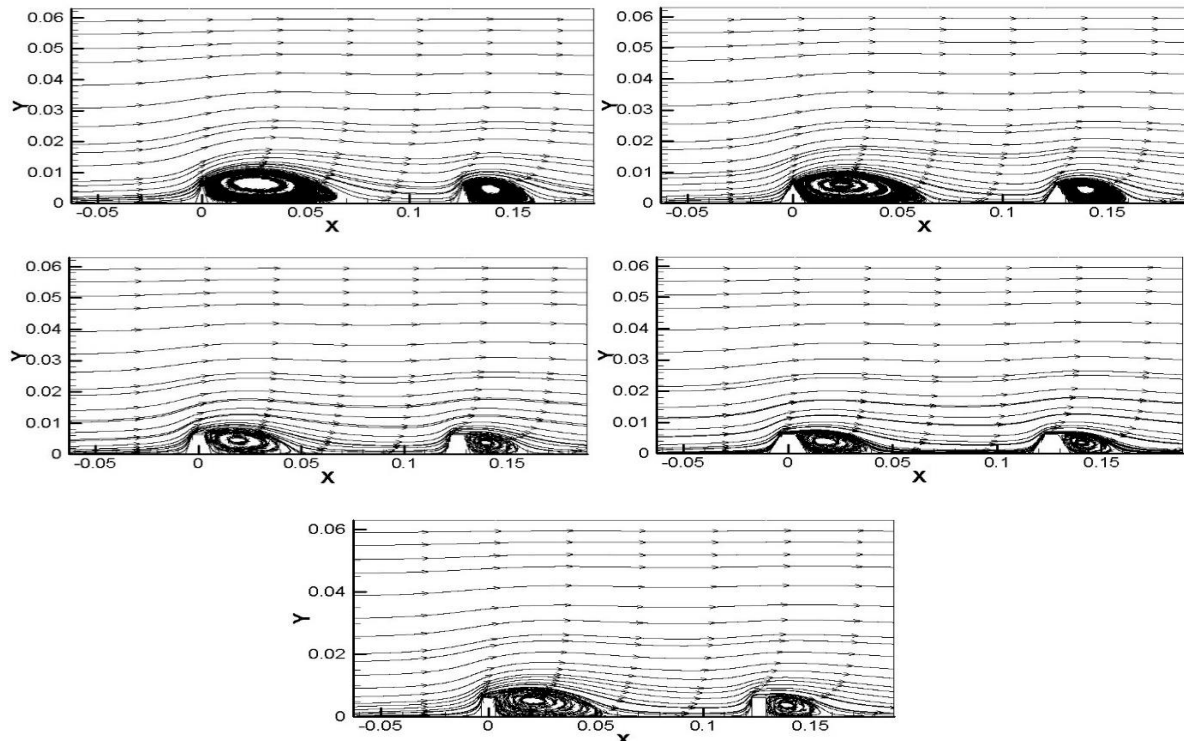
شکل ۵: تغییرات Y+ در نزدیکی دیواره.

Fig. 5. Y+ variation near the wall



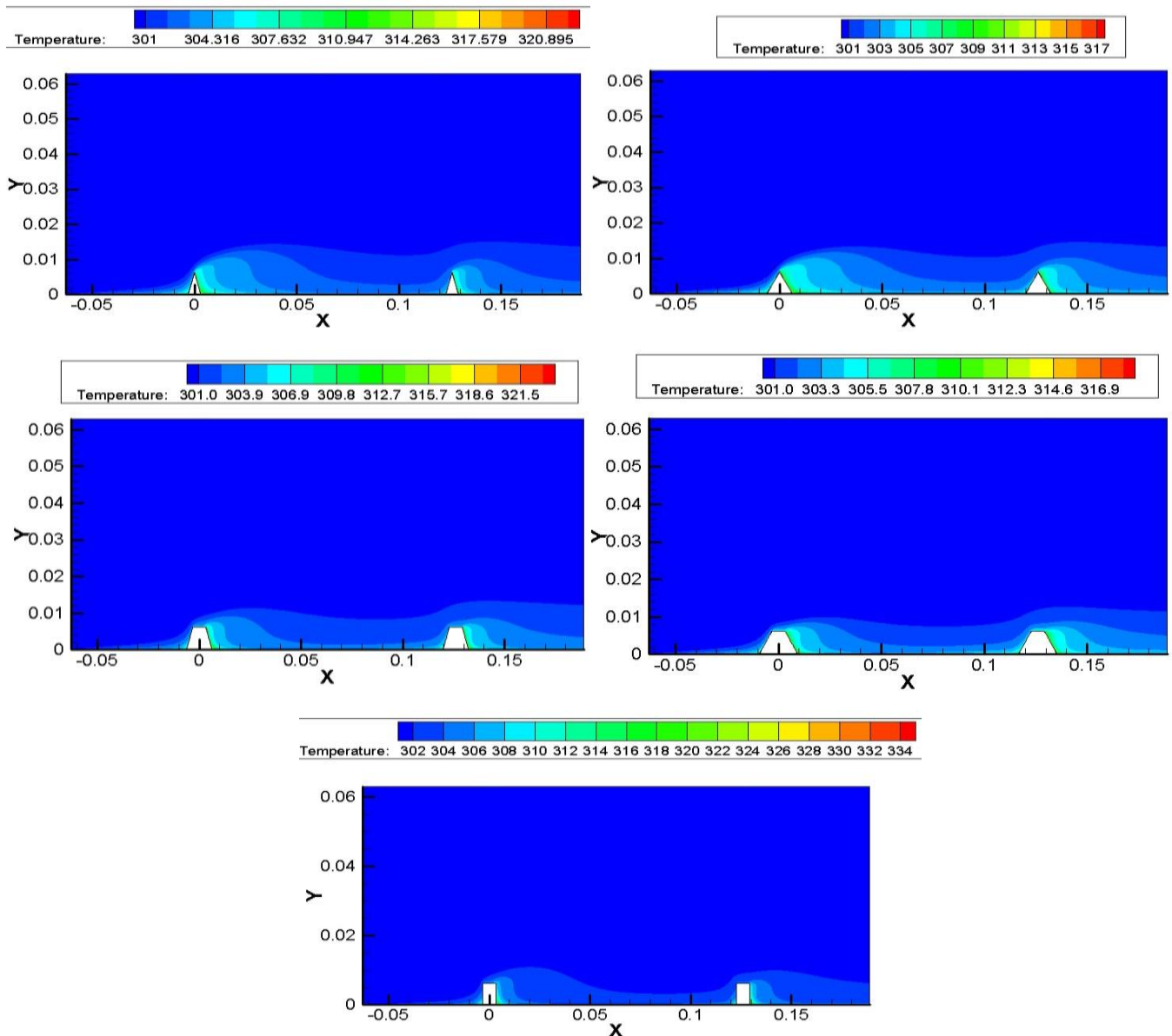
شکل ۶: شبکه‌بندی دامنه محاسباتی پنج فین مختلف

Fig.6. The grid generated for five fin geometries



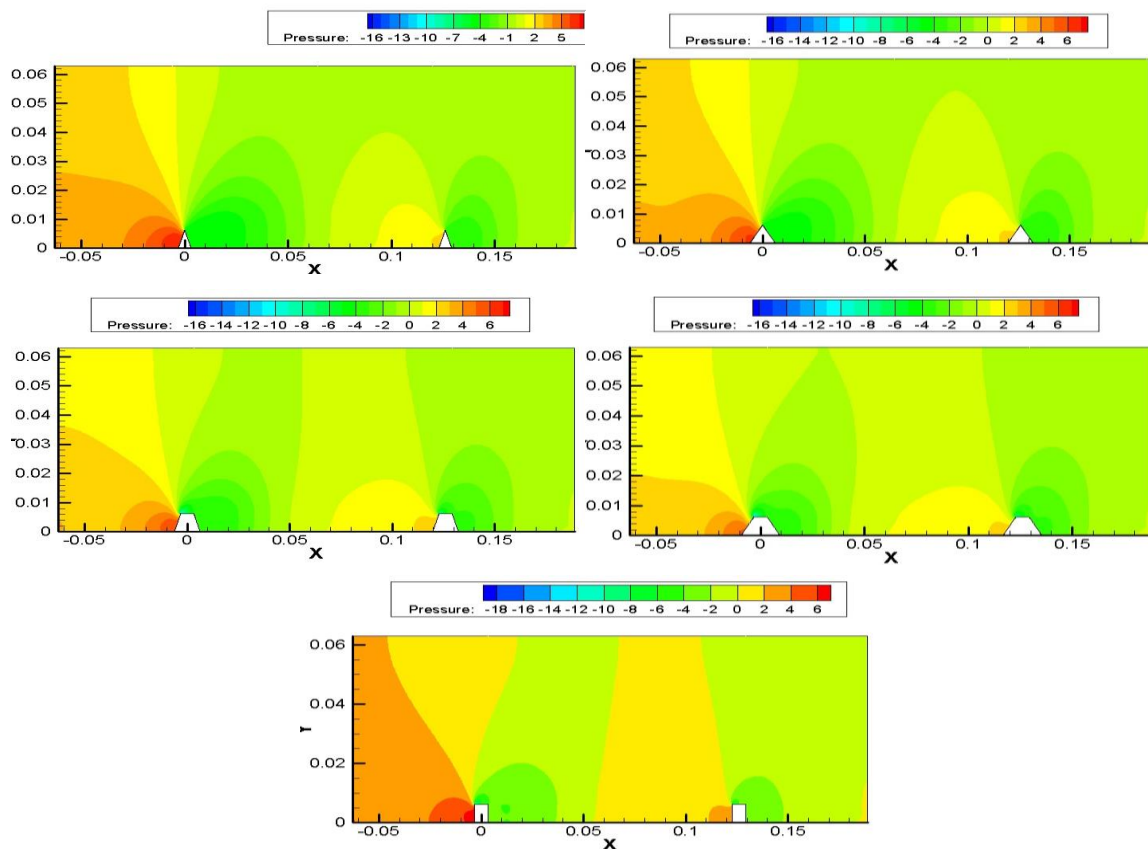
شکل ۷: بردارهای جریان سیال برای پنج حالت مختلف فین.

Fig. 7. Streamlines for different types of fin geometry



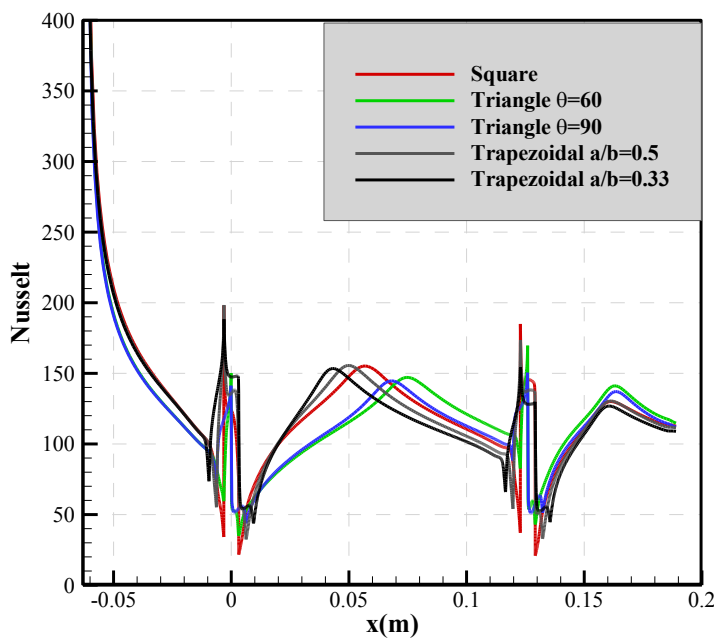
شکل ۸: دمای سیال برای پنج حالت مختلف فین

Fig .8. Fluid temperature for five different fins



شکل ۹: خریب فشار سیال برای پنج حالت مختلف فین

Fig. 9. Pressure coefficient for different types of fin geometry



شکل ۱۰: تغییرات عدد ناسلت در نزدیکی فین‌ها

Fig. 10. Variation of Nusselt number near the fins

Table 1. The ratio of heat transfer to pressure drop analysis

جدول ۱: بررسی نسبت انتقال حرارت به افت فشار

موردنطالعاتی	مثلث با زاویه ۶۰	مثلث با زاویه ۹۰	مربع	ذوزنقه با $a/b=0/۳۳$	$a/b=+۰/۳۳$	بدون فین	$a/b=۰/۳۳$
عدد ناسلت متوسط	۱۲۵/۱۴	۱۲۴/۲۶	۱۲۷/۷۳	۱۲۹/۰۹۴	۱۲۹/۷۱	۱۲۹/۷۱	۵۶/۳۳
افت فشار (Pa)	۳/۰۷	۲/۷۹۶	۲/۶۲	۱/۹۳۴	۲/۲۳۸	۰/۴۴۶	-
نسبت انتقال حرارت به افت فشار (Nu / $(\Delta p / (\frac{1}{2} \rho u^2))^{\frac{1}{3}}$)	۱۷۱/۷۰۴	۱۷۵/۸۸۸	۱۸۴/۷۵۷	۲۰۶/۵۹۵	۱۹۷/۷۳۰	۱۴۷/۰۷	-
نسبت انتقال حرارت به افت فشار هندسه فین دار به بدون فین	۱/۱۶۷	۱/۱۹۶	۱/۲۵۶	۱/۴۰۴	۱/۳۴۴	-	-

$a/b = 0/33$ هندسه‌ها می‌باشد. پس از آن، هندسه ذوزنقه‌ای با نسبت اضلاع $a/b = +0/33$ عملکرد بهتری را داشته و همچنین ضعیف‌ترین عملکرد مربوط به هندسه مثلثی شکل است.

۵- جمع بندی

هدف از انجام این پژوهش، بررسی اثر هندسه فین‌ها بر انتقال حرارت سطح می‌باشد. برای این منظور از پنج هندسه متفاوت برای فین‌ها استفاده شده است. از مدل جریان مغشوش $U - k$ استفاده شد. نتایج به صورت خلاصه مطابق زیر است.

- در فین‌های مثلثی به دلیل وجود لبه باریک در امتداد جریان جدایش جریان بیشتر شده و باعث کاهش برخورد سیال خنک با سطح می‌شود.
- ارتفاع گردابه در فین مثلثی 60° درجه نسبت به 90° درجه بیشتر است. اختلاط نزدیک سطح در فین مثلثی 60° درجه بیشتر از مثلث 90° درجه می‌باشد.

- در فین‌ها مسطح مثل ذوزنقه و مربع چون جریان موازی با سطح بالایی به بعد از فین می‌رسد، جدایش جریان آن نسبت با فین مثلثی کمتر و بنابراین اثربخشی خنک کاری آن بیشتر است.

- حرکت هوای خنک به روی سطح باعث کاهش دمای سطح می‌شود. در ناحیه گردابه‌ها، انتقال حرارت بیشتری بین سیال گرم و دیواره به وجود می‌آید. در فین‌های ذوزنقه‌ای به دلیل کمتر بودن جدایش و شعاع گردابه انتقال حرارت بیشتر از فین مثلث می‌باشد.

ضریب فشار به دلیل ناحیه بازگشت به سطح دارای یک افزایش ناگهانی می‌باشد. ماکریم ضریب فشار را فین مثلثی زاویه 60° دارد. افت فشار ناشی از فین در مربع و ذوزنقه بیشترین مقدار را دارا می‌باشد. ضریب فشار در طول مسیر قبل و بعد از فین برای دو فین مثلثی کمترین مقدار است ولی برای مربع و ذوزنقه‌ها تقریباً یکسان می‌باشد بنابراین افت فشار یکسانی در مسیر ایجاد می‌کند.

شکل ۱۰ تغییرات عدد ناسلت روی دیواره قبل و بعد از فین را نشان می‌دهد. به دلیل ناحیه بازگشت به سطح که تبادل حرارت بین سیال داغ نزدیک سطح و سیال خنک وجود دارد بیشترین مقدار ناسلت را دارا می‌باشد ولی بعد از ناحیه بازگشت به سطح مقدار ناسلت نزولی می‌شود و انتقال حرارت کاهش می‌یابد. فین‌های ذوزنقه‌ای بیشترین مقدار ناسلت را دارد که نشانه بیشترین مقدار انتقال حرارت در طول فین می‌باشد. فین مثلثی با زاویه 60° درجه نسبت به فین 90° درجه ناسلت بیشتری دارد. ناسلت فین مربعی بیشترین اختلاف را بین ماکریم و مینیمم ناسلت دارد که نشان‌دهنده تفاوت انتقال حرارت در قبل و بعد از فین مربعی می‌باشد. لازم به ذکر است که مقدار ناسلت محلی در فواصل میان فین‌ها، از 100 الى 150 در انتهای سطح، به مقدار 100 میل می‌کند.

برای بررسی بهتر نتایج هیدرودینامیکی و حرارتی حاصل شده، نسبت انتقال حرارت به افت فشار، در جدول زیر، بررسی شده است.

مطابق جدول ۱، مشاهده می‌شود که نسبت انتقال حرارت به افت فشار بدون بعد شده، برای هندسه فین ذوزنقه‌ای با نسبت اضلاع $a/b = +0/33$ بیشتر از سایر

convection and analysis of the 2nd law of thermodynamics in a channel having variable cross section, in: 1st National Conference of Fluid Flow and Heat and Mass Transfer, Esfahan, 2014. (In Persian)

[6] G.Shahdadnezhad,O.Tabari,A.Bahrami,Energy loss analysis of a laminar forced convection flow in a channel having an inclined step,in:2nd National Conference on Mechanical Systems and Industrial Innovations, Ahvaz, 2013. (In Persian)

[7] M. Shirzad, M.A. Afroz, Numerical analysis of magnetohydrodynamic forced convection flow in a 3D channel having a step, in: 2nd International Conference on New Research Findings in Mechanics, Industry, and Aerospace, Tehran, 2016. (In Persian)

[8] P. Safaei, A.K. Mobarakeh, M.H. Navdfar, Free convection in an inclined square channel having internal insulated cavities, in: 19th Annual Mechanical Engineering Conference, Birjand, 2011. (In Persian)

[9] M.Foruzan-Nia,S.A.G. Nassab, S.B. Maisam Atash Afroz, Numerical study of entropy generation in a turbulent forced convection flow in a channel having two inclined backward and forward step, in:22nd Annual Mechanical Engineering Conference,Ahvaz,2014.(In Persian)

[10] F.K. Marvasti, A. Tahavvor, Numerical Analysis of Natural Convection Heat Transfer Enhancement in a Channel with Inclined Parallel Plates, in: 1st International Conference of Applied Research in Electrical and Mechanical Engineering, Malek-Ashtar University of Technology, Tehran, 2015. (In Persian)

[11] S.mehdipour,H. Shokouhmand, M. Nikian, A. Abed, Experimental investigation of hybrid heat transfer in a cylindrical inclined channel filled with a porous media, in: National Mechanical Engineering Conference, Shiraz, 2013. (In Persian)

- ضریب فشار به دلیل ناحیه برخورد به سطح دارای یک افزایش ناگهانی می‌باشد. افت فشار ناشی از فین در مثلث بیشترین مقدار را دارد می‌باشد.

- فین‌های ذوزنقه‌ای بیشترین مقدار ناسلت را دارد که نشانه بیشترین مقدار انتقال حرارت در طول فین می‌باشد. فین مثلثی با زاویه 60° درجه نسبت به فین 90° درجه انتقال حرارت بیشتری دارد.

- عدد ناسلت در فین مربعی، بیشترین اختلاف را بین ماکریم و مینیمم عدد ناسلت را دارد که نشان‌دهنده تفاوت انتقال حرارت در قبل و بعد از فین مربعی می‌باشد.

منابع

- [1] F. Owliaei, N. Aminizadeh, M.A. Afroz, Numerical study of the effects of channel's inclination on flow irreversibility in natural and forced convection flows, in: Electronic Conference on New Researches in Science and Technology, 2014. (In Persian)
- [2] F. Owliaei, N. Aminizadeh, M.A. Afroz, Analysis of the 2nd Law of Thermodynamics in Natural and forced convection flow in an inclined channel having sudden expansion and contraction,in:1st National Conference of Fluid Flow and Heat and Mass Transfer, Esfahan, 2014. (In Persian)
- [3] S. Sotoudehnia, N. Aminizadeh, M.A. Afroz, Numerical simulation of laminar forced convection flow and entropy analysis in an inclined channel using blocked off method, in: 2nd International Conference on new findings in engineering and basic Science, 2014. (In Persian)
- [4] S.Sotoudehnia,N.Aminizadeh, M.A.Afroz,Numerical study of laminar forced convection flow and irreversibility analysis in a channel having 2 sudden expansions – blocked off method, in: 1st National Conference of Fluid Flow and Heat and Mass Transfer, Esfahan, 2014. (In Persian)
- [5] S.Sotoudehnia,N.Aminizadeh, M.A. Afroz, Application of blocked off method in simulation of laminar forced

- Fluid, 15(3) (2005) 277-295.
- [21] S.M.Seyyedi, D.D.Ganji,M.Gorji, H. Bararnia, S. Soleimani, Forced convection heat transfer due to different inclination angles of splitter behind square cylinder, *Applied Mathematics and Mechanics*, 34(5) 2013.
- [22] A.D. Rayeni, S.A.G. Nassab, Analysis of combined radiation and forced convection heat transfer in 3D laminar flow over an inclined forward facing step, *Journal of Electronics Cooling and Thermal Control*, 06(01) (2016) 1-18.
- [23] T. Crittenden, S. Jha, A. Glezer, Forced convection heat transfer enhancement in heat sink channels using aeroelastically fluttering reeds, *Thermal and Thermomechanical Phenomena in Electronic Systems (ITherm)*, (2017).
- [24] M. Cucchi, D. Fustinoni, P. Gramazio, L.P.M. Colombo, A. Niro, Heat transfer characteristics in forced convection through a rectangular channel with 60° tilted staggered ribs, *Journal of Physics: Conference Series* (2014).
- [25] K. Amghar, M.A. Louhibi, N. Salhi, M. Salhi, Numerical simulation of forced convection turbulent in a channel with transverse baffles, *JMES*, 8(4) (2017) 1417-1427.
- [26] N.A.C. Sidik, M. Khakbaz, L. Jahanshaloo, Syahrullail Samion, A.N. Darus, Simulation of forced convection in a channel with nanofluid by the lattice boltzmann method, *Nanoscale Res Lett*, (2013).
- [27] H.-C. Shin, S. Han, S.-M. Kim, Numerical study on the forced convection heat transfer of nanofluids in micro-channels, *Journal of Nanoscience and Nanotechnology*, 17(11) (2017) 8394-8403 .
- [28] S. Acharya, Periodically developed flow and heat transfer in a ribbed duct, *int. J. Heat and Mass Transfer* 36(8) (1993) 2069-2082.
- [12] M. Hedayati, A.A. Dehghan, Numerical study of flow patterns of natural convection in solar collectors casing having flat and corrugated collectors,in:12th FluidDyna miConferenc,Tehran,2009.(InPersian)
- [13] E. Ayli, O. Bayer, S. Aradag, Experimental investigation and CFD analysis of rectangular profile fINS in a square channel for forced convection regimes, *International Journal of Thermal Sciences*, 109 (2016) 279-290.
- [14] A. Boonloi, Numerical investigation on turbulent forced convection and heat transfer characteristic in a square Channel with discrete combined V-baffle and V-orifice, *Case Studies in Thermal Engineering*, 8 (2016) 226–235.
- [15] A. Dixit, A. Patil, Heat transfer characteristics of grooved fin under forced convection ,*Heat Transfer Engineering*, 36(16)(2015)1409–1416.
- [16] M.-H. Yang, R.-H. Yeh, J.-J. Hwang, Forced convective heat transfer in a channel with staggered fin array,*Journal of Thermophysics and Heat Transfer*, 25(2) (2011) 272-281.
- [17] J. Yang, M. Zeng, Q. Wang, Forced convection heat transfe enhancement by porous pin fins in rectangular channels, *Journal of Heat Transfer*, 132(5) (2010)0517 02.
- [18] M.-H.Yang,R.-H.Yeh,J.J.Hwang,Forced convection in a channel with transverse fins, *international Journal of Numerical,Methods for Heat& Fluid Flow*, 22(3) (2012) 306-322.
- [19] G. Tanda, R. Abram, Forced convection heat transfer in channels with rib turbulators inclined at 45 deg, *Journal of Turbomachinery*, 131(2) (2009)12-21.
- [20] B.A.K. Abu-Hijleh, Fin placement for optimal forced convection heat transfer from a cylinder in cross-flow, *International Journal of Numerical Methods for Heat &*

